

论著

CT Diagnosis of Uric Acid Stones in Asymptomatic Patients with Hyperuricemia during Physical Examination

DING Guan-yao, HU Ya-ting^{*}

Department of Endocrinology, The First People's Hospital of Xianyang City, Xianyang 712000, Shaanxi Province, China

ABSTRACT

Objective To evaluate CT diagnosis of uric acid stones in asymptomatic hyperuricemia patients. **Methods** The CT data of 116 asymptomatic patients with hyperuricemia who came to our hospital for health examination from April 2023 to April 2024 were retrospectively analyzed, and dual-energy CT(DE-CT) scans were performed in all of them. Eight participants with uric acid stones confirmed on DE-CT were also included. CT value was compared based on three algorithms (ppLapl-MaxHU, MaxHU, KNN-ppLapl-MaxHU). **Results** Among 124 asymptomatic patients with hyperuricemia, 106 were non-uricolithiasis and 37 were uricolithiasis. The sensitivity, specificity and accuracy of KNN-ppLapl1-MaxHU for uric acid and non-uric acid stones were 100%(37/37), 97%(103/106) and 98%(140/143), respectively. ppLapl1-MaxHU was 95%(35/37), 98%(104/106), and 97%(139/143), and MaxHU was 92%(34/37), 94%(100/106), and 94%(134/143). **Conclusion** The accuracy of quantitative single energy CT(SE-CT) (KNN-ppLapl-MaxHU) in the classification of uric acid stones is comparable to that of DE-CT.

Keywords: Hyperuricemia; Uric Acid Calculus; CT Diagnosis

CT征象诊断无症状高尿酸血症患者尿酸结石的价值研究

丁冠瑶 胡雅婷^{*}
咸阳市第一人民医院内分泌科
(陕西 咸阳 712000)

【摘要】目的 探讨CT诊断无症状高尿酸血症患者尿酸结石的价值。**方法** 回顾性分析2023年4月至2024年4月期间116名来院参加的无症状高尿酸血症患者的CT资料，均进行双能CT(DE-CT)扫描。同时纳入8名在DE-CT上确认为尿酸结石的参与者。基于三种算法(ppLapl-MaxHU, MaxHU, KNN-ppLapl-MaxHU)对比CT价值。**结果** 124例无症状高尿酸血症患者中106例为非尿酸结石，37例为尿酸结石。对尿酸和非尿酸结石，KNN-ppLapl1-MaxHU的敏感性、特异性和准确性分别为100%(37/37)、97%(103/106)和98%(140/143)，ppLapl1-MaxHU为95%(35/37)、98%(104/106)和97%(139/143)，MaxHU为92%(34/37)、94%(100/106)和94%(134/143)。**结论** 定量单能量CT(SE-CT)方法(KNN-ppLapl-MaxHU)对尿酸结石的分类准确率可与DE-CT相当。

【关键词】高尿酸血症；尿酸结石；CT诊断

【中图分类号】R364.2+5

【文献标识码】A

DOI:10.3969/j.issn.1672-5131.2024.12.042

目前，尿酸(UA)结石成分分析大多采用双能量CT(DE-CT)，在多项研究中显示出较高的准确度^[1]。而非增强单能量CT(SE-CT)在测量结石大小和预测自发性结石通道方面具有很高的重复性^[2]。有研究认为^[3]，结石中体素最高(峰值)衰减(MaxHU)是结石成分的预测指标，但为了提高特异性，其提出了一种更定量的SE-CT方法，称为ppLapl-MaxHU。与通常用于尿路结石测量的MaxHU和ppLapl相比，ppLapl-MaxHU研究较少。KNN是一种学习算法，最近有研究推导出KNN-ppLapl-MaxHU^[4]。我们推测，KNN-ppLapl-MaxHU和ppLapl-MaxHU方法可以区分UA和非UA结石，其敏感性和特异性与DE-CT相当，且高于仅使用结石的峰值衰减(MaxHU)^[5]。因此，本研究特评估CT诊断无症状高尿酸血症患者尿酸结石的价值。

1 资料与方法

1.1 研究资料 回顾性分析2023年4月至2024年4月期间116名来院参加的无症状高尿酸血症患者的CT资料，均进行双能CT(DE-CT)扫描。同时纳入8名在DE-CT上确认为尿酸结石的参与者。116人男性74人，女性42人，平均年龄(51.3±11.7)岁。

1.2 研究方法 所有参与者均行DE-CT，SE-CT的平均剂量长度乘积为185±55 mGy·cm(范围98-432)，平均体积CT剂量指数为4.5mGy(2.7-10)，DE-CT检查的平均剂量长度乘积为189±101 mGy·cm(范围54-637)，平均体积CT剂量指数为16(5.6-41)。DE-CT扫描长度3.8~61cm，平均10.7cm。ppLapl-MaxHU，MaxHU，KNN-ppLapl-MaxHU均已在先前的研究中发表^[1,6-7]，这三种指数测试目前都还没有商业化。用于结石类型预测的两个定量变量是(1)结石中最高衰减体素(MaxHU)和(2)与缩放拉普拉斯滤波图像中的MaxHU相同位置的值(PpLapl)^[8]。对ppLapl的解释是计算最高衰减体素值与周围26个体素的加权平均值之间的衰减差。所有数据输出到MatLab，生成MaxHU和ppLapl-MaxHU值。计算SE-CT分类方法(kNN-ppLapl-MaxHU、ppLapl-MaxHU和MaxHU)预测UA结石的敏感度、特异度和准确度。

1.3 统计学方法 所有使用SPSS 26.0和MatLab进行分析，指数法之间差异的统计学意义采用McNemar检验(显著性水平：P<0.05)。

2 结果

2.1 结石示例分析 具体如图1所示，图1上为指数测试(a)和参考测试(b)评估左侧11×5 mm尿酸(UA)肾结石，患者为66岁男性。a指数测试：红色表示根据峰值拉普拉斯最大衰减(ppLapl-MaxHU)算法UA组成：在这种情况下，峰值衰减为693HU(<1000HU)，该峰值衰减与周围26个体素的平均值98HU(<195HU)之间的差值。b参考测试：红色表示含有UA成分。

图1下为指数测试(a)和参考测试(b)评估一位78岁男性左侧5×3mm非尿酸(非尿酸)输尿管结石。a指数测试：医生标记输尿管结石后，进行1 mm单能量、非增强轴位CT扫描。根据峰值拉普拉斯-最大衰减(ppLapl-MaxHU)算法，蓝色星指示非UA成分：峰值衰减为≥1000HU(在本例中为1398HU)或该峰值衰减与≥195HU(在本例中为182HU)周围体素的加权平均值之间的差将其定义为非UA成分的石头。b参考测试：应用程序对轴

【第一作者】丁冠瑶，男，主治医师，主要研究方向：内分泌与代谢病。E-mail: golike89@126.com

【通讯作者】胡雅婷，女，副主任医师，主要研究方向：内分泌与代谢病。E-mail: huyatin1986@163.com

向、双能量CT图像进行后处理。蓝色表示非UA成分。

2.2 指数测试分析 具体如图2所示, KNN预测方法是基于ppLapl-MaxHU方法的, 该曲线在散点图中将预测的UA和非UA结石分开(图2B)。因此, 与原始方法(图2A)中UA结石的矩形面积相比, UA结石与非UA结石之间的区别是更平滑的曲线。第三个

指标测试只使用了前面定义的最优最大HU-745HU。

2.3 散点图分析 具体如图3所示, 三种不同的单能量CT(SE-CT)方法对尿酸(UA)结石和非UA结石进行分类的散点图。红点: 双能CT(DE-CT)显示的UA结石。蓝点: DE-CT定义的非UA结石。左: ppLapl-MaxHU方法。中: KNN-ppLaplmax HU法。右: 最大HU法。

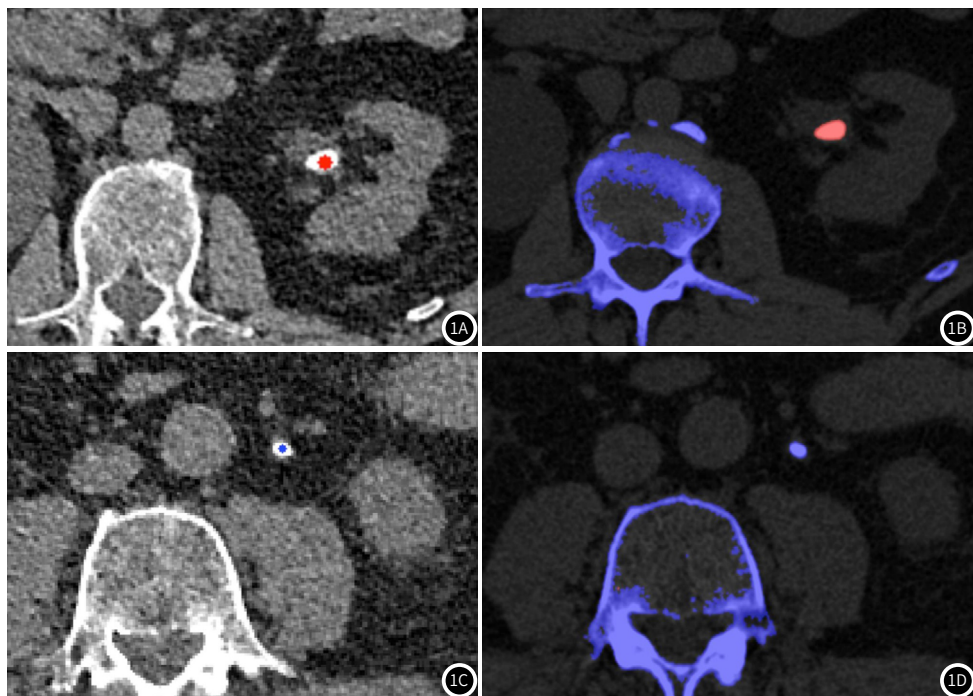


图1A-图1B 指数测试(1A)和参考测试(1B)评估尿酸结石示例; 指数测试(1C)和参考测试(1D)评估非尿酸结石示例。

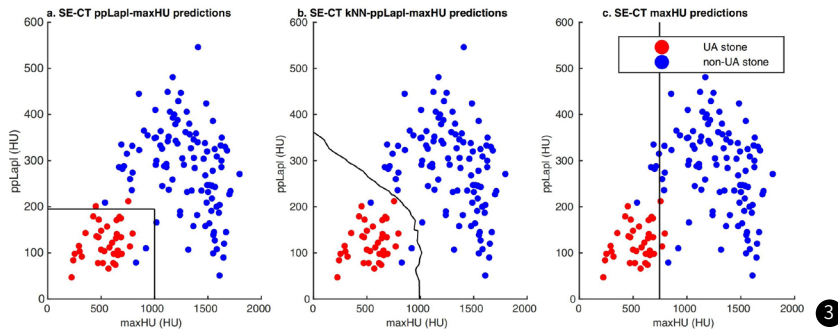
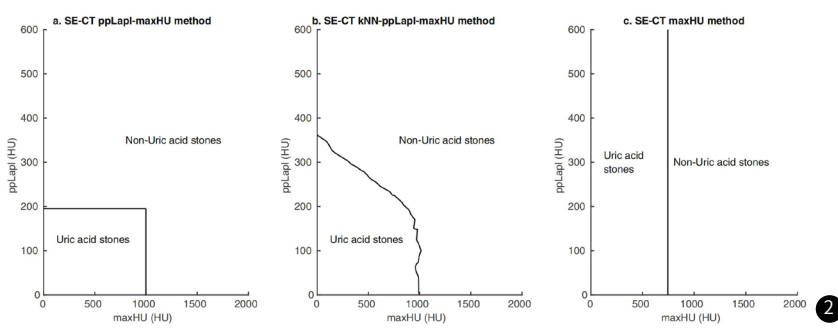


图2 单能量CT(SE-CT)方法用于尿酸(UA)结石的最大衰减(Max HU)和峰值拉普拉斯(PpLapl)分类。

图3 三种不同的单能量CT(SE-CT)方法对尿酸(UA)结石和非UA结石进行分类的散点图。

3 讨 论

近年来，者中无症状高尿酸血症患者逐渐增多，而早期尿酸结石的发现对于疾病诊断及治疗显得尤为重要。单能量CT是检测尿路结石的一线方法，而体内结石分析通常是用双能量CT进行的^[9]。这项研究的目的是采用新的定量方法(KNN-ppLapl-MaxHU)，用于使用一线单能量CT扫描在体内预测尿酸(UA)结石类型。KNN-ppLapl-MaxHU法对3~20mm UA结石的敏感性为100%(37/37)，特异性为97%(103/106)，准确性为98%(140/143)。PpLapl-MaxHU和MaxHU方法的准确率也很高，分别为97%和94%^[10]。

尿路结石的衰减与成分密切相关，尿路结石和非尿路结石之间也有相当大的重叠^[11]。KNN-ppLapl-MaxHU方法是纯定量的，它将结石内部的最高衰减与周围26个体素的衰减结合在一起，给出了结石衰减峰值的估计^[12]。KNPppLapl-MaxHU方法逻辑在于钙基结石可以具有与较大的UA基石相同的峰值衰减，但衰减最高的体素和周围体素之间的衰减差异通常在钙中比UA中更大^[13]。与以前的研究相比^[14]，本研究的一个主要优点是，三个测试算法是预定义，从而避免了过度匹配的问题。与原始方法相比，由于KNN方法在UA和非UA结石之间创建了一条更平滑的曲线，因此建议的KNN方法的截止点为195 HU/1000 HU^[15]。然而，本研究中这两种方法都有很好的准确率(97-98%)，并且这两种方法都可以使用^[16]。鉴于这两种方法的精确度都很高，要实现它们之间在精确度上的显著差异，需要包含非常多的结石，考虑到UA结石的患病率相对较低，这是很难实现的^[17]。KNPppLapl-MaxHU方法的一个优点是它的可塑性；未来向该算法添加更多的训练样本可能会进一步提高其精度^[18-19]。虽然我们假设KNN-ppLapl-MaxHU的准确度将高于仅使用MaxHU的方法的准确度，但有一种更高的准确率的强烈趋势(98%对94%($P=0.06$))^[20]。

总而言之，本研究表明，纯定量的单能量CT方法可以对尿酸(UA)和非UA结石进行分类，其准确性与双能量CT相当。考虑到更低的成本、更好的可用性和更低的辐射暴露，这是双能量CT在尿路结石诊断中的一个有前途的替代方案。

参 考 文 献

- [1]王晓,杨牧,余雯晴,等.老年认知功能障碍与高尿酸血症及脑灰质结构改变的关系研究[J].中国CT和MRI杂志,2024,22(01):18-20.
- [2]Wu F,Chen L,Du Y.Comparison of the efficacy and safety of benzbromarone and febuxostat in gout and hyperuricemia:a systematic review and meta-analysis[J].Clin Rheumatol,2024.
- [3]Liu X,Huang G,You Y,et al.Hyperuricemia is associated with heart failure readmission in patients with heart failure and preserved ejection fraction—an observational study in Chinese[J].Nutr Metab Cardiovasc Dis,2024,34(2):521-528.
- [4]Xu G,Wu L,Yang H,et al.Eupatilin inhibits xanthine oxidase in vitro and attenuates hyperuricemia and renal injury in vivo[J].Food Chem Toxicol,2024,183:114307.
- [5]Zheng L,Zhu Y,Ma Y,et al.Relationship between hyperuricemia and the risk of cardiovascular events and chronic kidney disease in both the general population and hypertensive patients:a systematic review and meta-analysis[J].Int J Cardiol,2024,399:131779.

- [6]Seifi N,Nosrati M,Koochackpoor G,et al.The association between hyperuricemia and insulin resistance surrogates,dietary- and lifestyle insulin resistance indices in an Iranian population:MASHAD cohort study[J].Nutr J,2024,23(1):5.
- [7]Kawano K,Ueno T,Maeda T,et al.Relationship between abdominal circumference and the incidence of hyperuricemia in the general Japanese population[J].Sci Rep,2024,14(1):4573.
- [8]Fang Y,Mei W,Wang C,et al.Dyslipidemia and hyperuricemia:a cross-sectional study of residents in Wuhu,China[J].BMC Endocr Disord,2024,24(1):2.
- [9]Liu Y F,Han L,Geng Y H,et al.Nonlinearity association between hyperuricemia and all-cause mortality in patients with chronic kidney disease[J].Sci Rep,2024,14(1):673.
- [10]Panlu K,Zhou Z,Huang L,et al.Associations between obesity and hyperuricemia combing mendelian randomization with network pharmacology[J].Heliyon,2024,10(6):e27074.
- [11]He B,Feng J,Shu Y,et al.Prevalence and risk factors of hyperuricemia among young and middle-aged tibetan men living at ultrahigh altitudes:a cross-sectional study[J].High Alt Med Biol,2024,25(1):42-48.
- [12]Yin Y,Zhou E,Wu J.Association between hyperuricemia and long-term mortality in patients with hypertension:results from the NHANES 2001-2018[J].Front Cardiovasc Med,2024,11:1306026.
- [13]Liu S,Lin X,Tao M,et al.Efficacy and safety of orlistat in male patients with overweight/obesity and hyperuricemia:results of a randomized,double-blind,placebo-controlled trial[J].Lipids Health Dis,2024,23(1):77.
- [14]Chen D,Lu C,Chen K,et al.Association between anthropometric indices and hyperuricemia:a nationwide study in China[J].Clin Rheumatol,2024,43(3):907-920.
- [15]Sosa F,Shaban M,Lopez J,et al.Impact of hyperuricemia and urate-lowering agents on cardiovascular diseases[J].Clin Med Insights Cardiol,2024,18:1987739126.
- [16]Liu Y F,Wang H H,Geng Y H,et al.Uncovering the potential mechanisms and effects of hyperuricemia and its associated diseases on male reproduction[J].Reprod Sci,2024.
- [17]李兆勇,梁俊生,陈腾云,等.双能CT在高尿酸血症患者临床分期诊断中的应用[J].中国CT和MRI杂志,2021,19(07):170-173.
- [18]Wen Z Y,Wei Y F,Sun Y H,et al.Dietary pattern and risk of hyperuricemia:an updated systematic review and meta-analysis of observational studies[J].Front Nutr,2024,11:1218912.
- [19]Zhang J,Jia X,Li Y,et al.The association between serum uric acid and cognitive function among middle-aged and older adults without hyperuricemia:the mediating role of depressive symptoms[J].J Gerontol A Biol Sci Med Sci,2024,79(1).
- [20]Vareldzis R,Perez A,Reisin E.Hyperuricemia:an Intriguing Connection to Metabolic Syndrome,Diabetes,Kidney Disease, and Hypertension[J].Curr Hypertens Rep,2024.

(收稿日期：2024-06-24)
(校对编辑：姚丽娜)